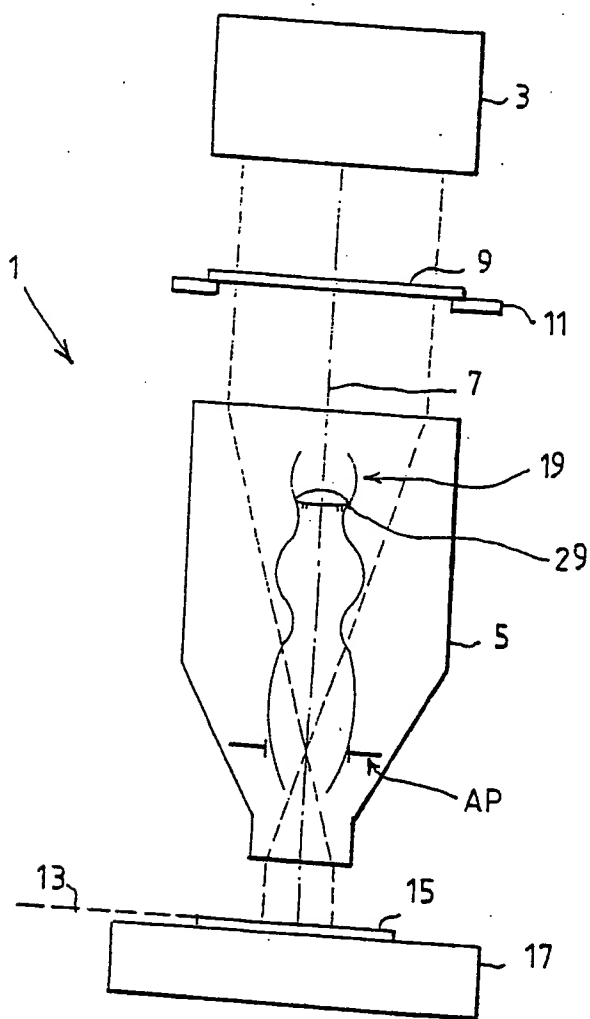


FIG. 1



2022040521660

FIG. 2

2/11

2/11

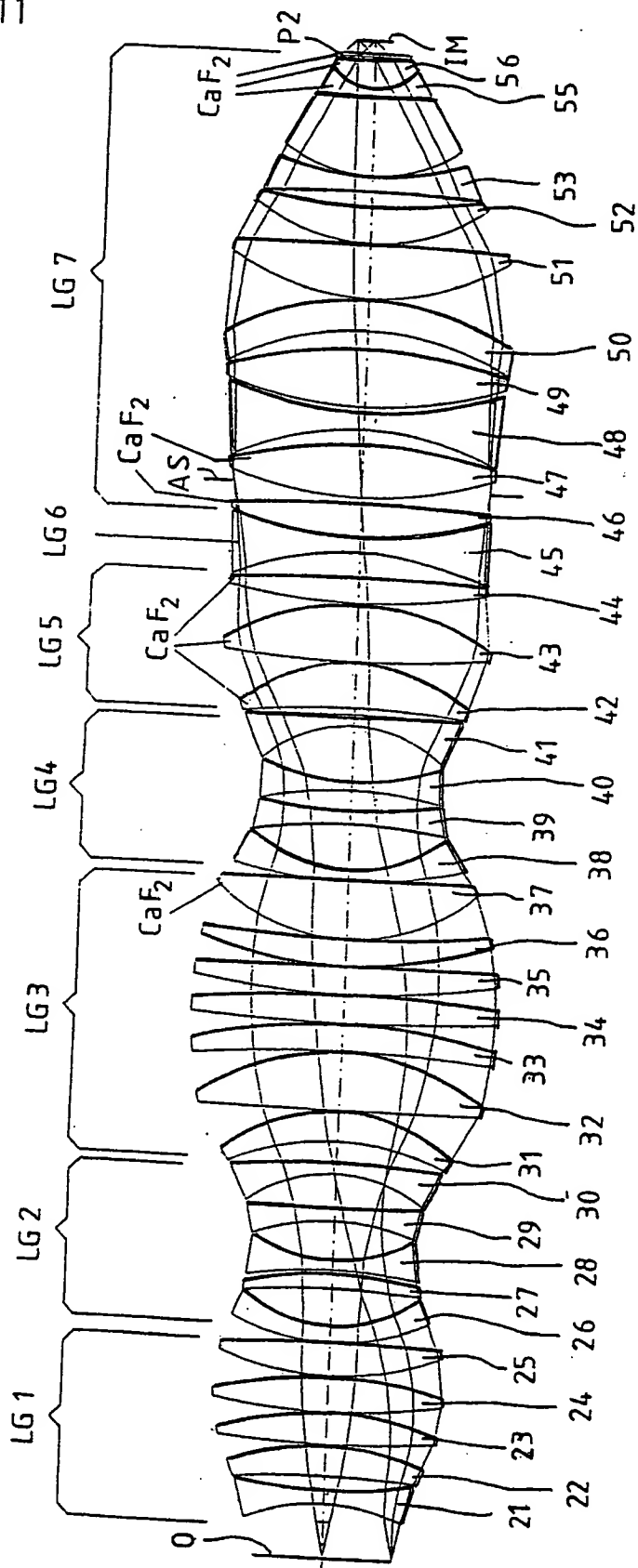
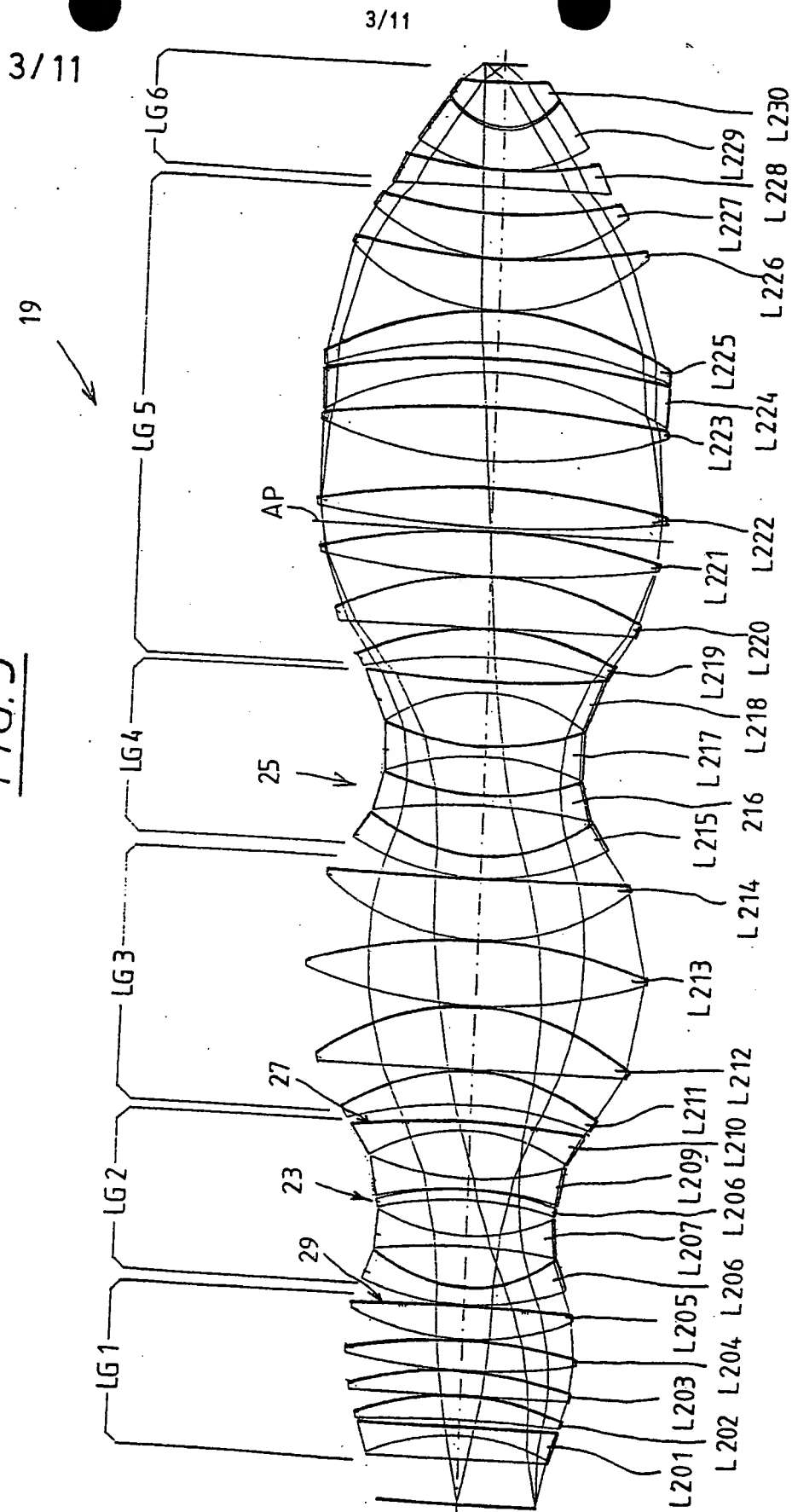


FIG. 3



5/11

FIG. 5a

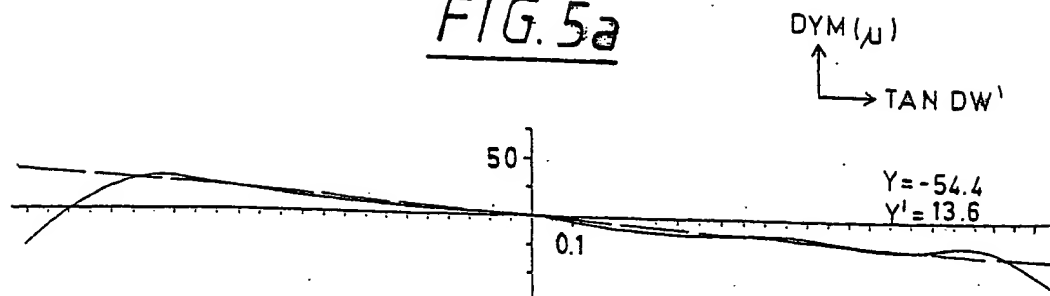


FIG. 5b

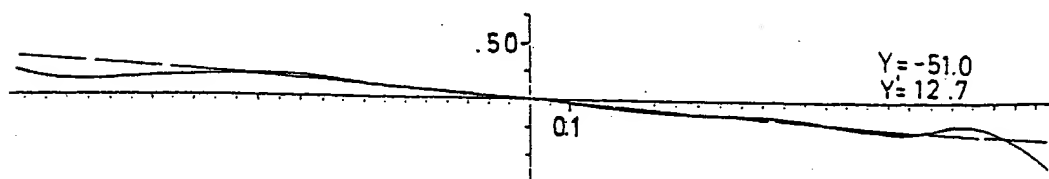
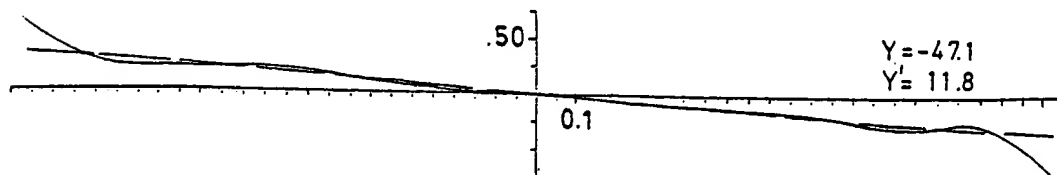


FIG. 5c



0947504-0720

6/11

FIG. 5d

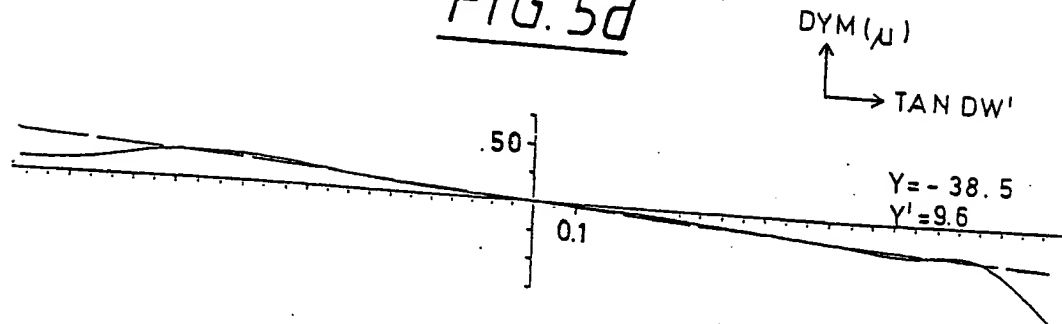


FIG. 5e

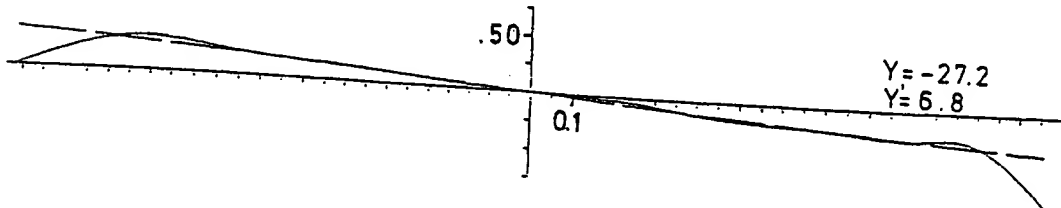


FIG. 5f

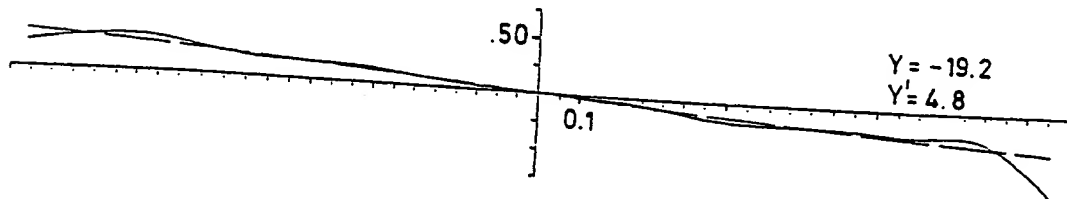
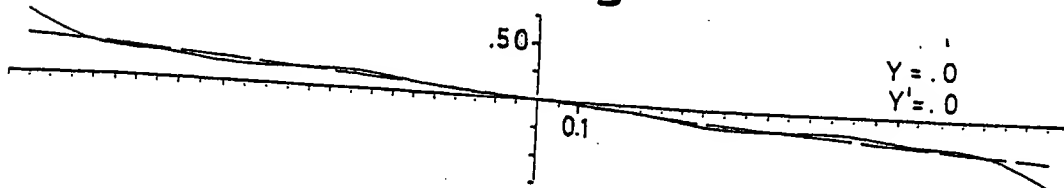


FIG. 5g



10420 4052160

7/11

DZS (μ)
↑
→ TAN DW'

FIG. 6a

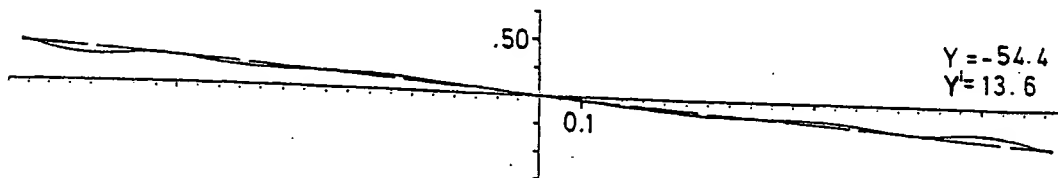


FIG. 6b

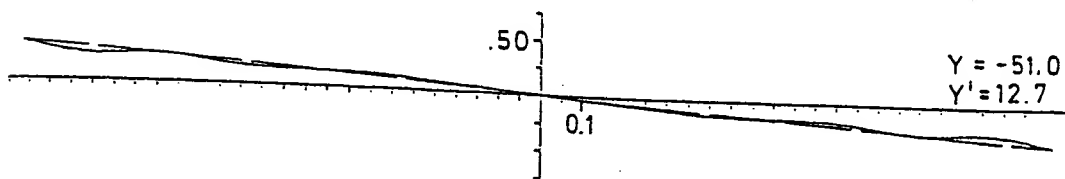
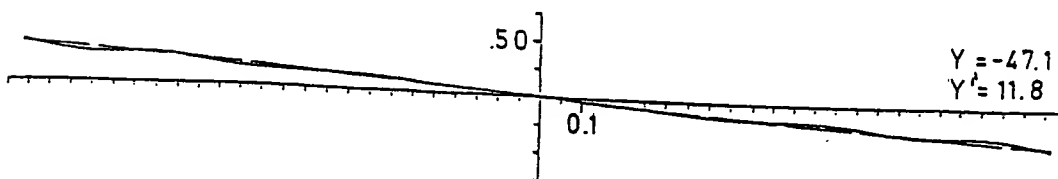
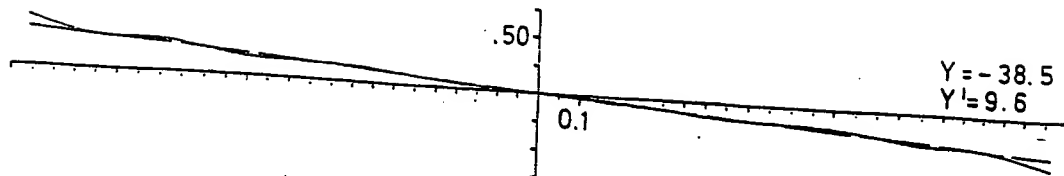
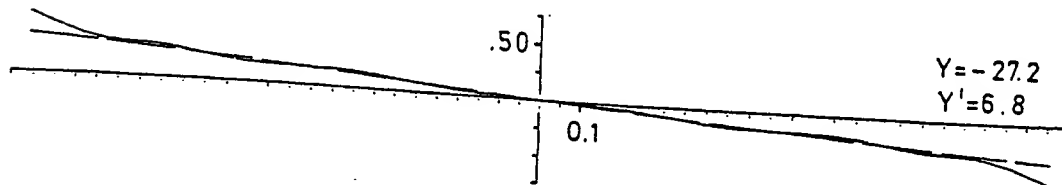
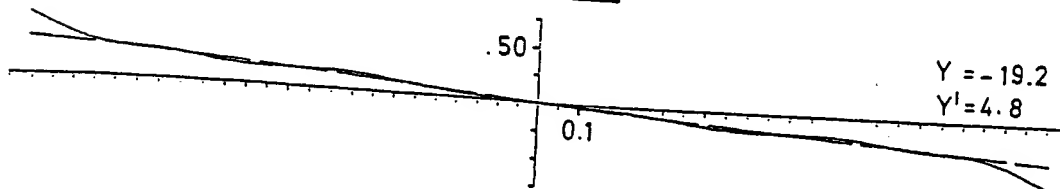
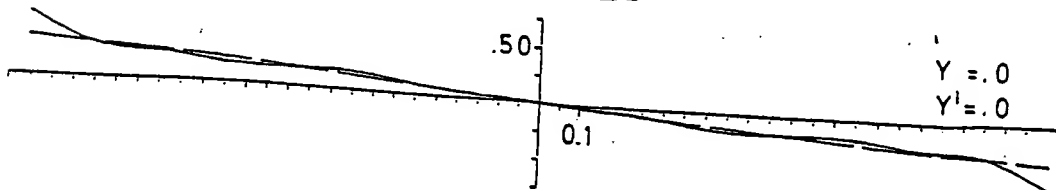


FIG. 6c



09017504-022704
F02220-052160

DZS (μ)
 \rightarrow TAN DW'

FIG. 6dFIG. 6eFIG. 6fFIG. 6g

00947504 0904

9/11

FIG. 7a

DYS (μ)
↑
→ TAN DW'

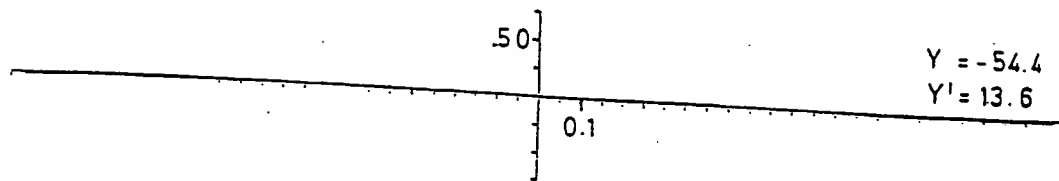


FIG. 7b

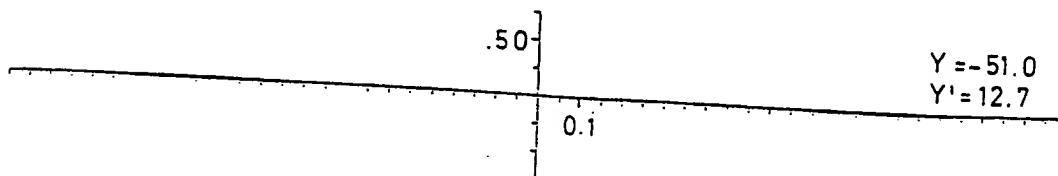
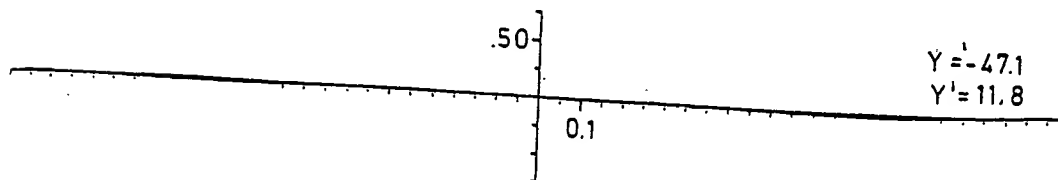


FIG. 7c



102220-105/1660

10/11

FIG. 7d

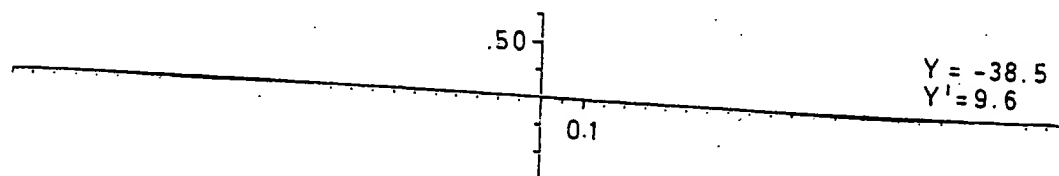


FIG. 7e

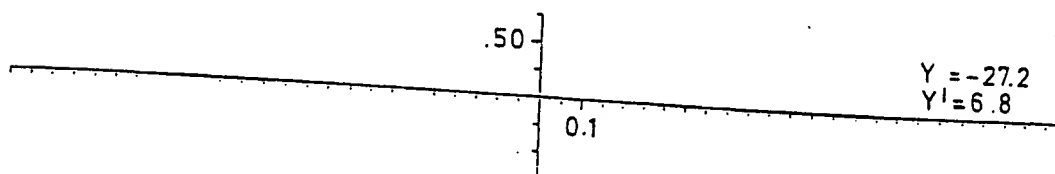
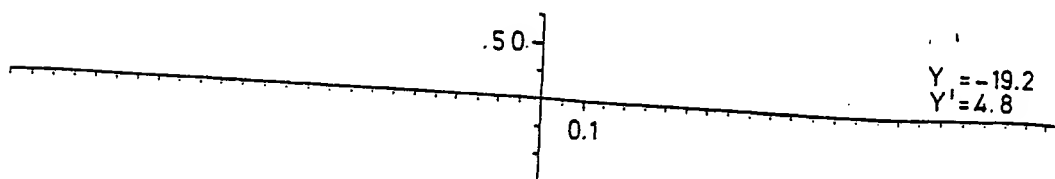


FIG. 7f



1022/0-405/1660

FIG. 8

